

PIEZO-FLEXO-ELECTRICIDAD Y CONFINAMIENTO CUANTICO: MODELADO Y FORMULACION DEL PROBLEMA DE CONDICIONES INICIALES Y DE BORDE

PIEZO-FLEXO-ELECTRICITY AND QUANTUM CONFINEMENT: MODELING AND FORMULATION OF THE INITIAL / BOUNDARY CONDITIONS PROBLEM

Juan Carlos Barreto^a, Javier Luis Mroginski^b y Mario Alejandro Meza^a

^a*Laboratorio de Modelización y Simulación Numérica, Universidad Nacional de Formosa, Av. Gutnisky
3200 Formosa, <http://www.unf.edu.ar>*

^b*Laboratorio de Mecánica Computacional, Universidad Nacional del Nordeste LAMEC - IMIT
(CONICET), Av. Las Heras 727, 3500 Resistencia, Chaco, Argentina*

Palabras clave: Flexo-electro-elasticidad, polarización dieléctrica, puntos cuánticos, potencial de confinamiento

Resumen. La piezo-flexo-electricidad, es una propiedad que poseen los materiales aislantes (dieléctricos centro-simétricos), los cuales se polarizan cuando se los somete a un gradiente de deformación, y a un campo eléctrico simultáneamente, en la nano-escala. Desde esta perspectiva, y de manera análoga, respecto del caso micromecánico, podemos suponer que aparecerá una fuerza configuracional, que producirá una deformación residual, denominada piezo-flexo-eléctrica, idéntica a la que aparece en el experimento de Eshelby clásico, y que tendrá un efecto de confinamiento, este hecho ocurre físicamente, dando lugar a la aparición de una fluctuación mecano-cuántica (confinamiento cuántico), cero, uni, bi, o tridimensional, en el primer caso hablamos de puntos cuánticos. En el presente trabajo se formulan las ecuaciones constitutivas de la piezo-flexo-electricidad, sus ecuaciones de movimiento, se especifican las condiciones de resolubilidad del sistema piezo-flexo-eléctrico.

Keywords: Piezo-flexo-electricity, dielectric polarization, quantum dots, confinement potential.

Abstract. Piezo-flexo-electricity is a property of insulating materials (centro-symmetrical dielectrics), which polarize when subjected to a strain gradient and an electric field simultaneously at the nanoscale. From this perspective, and analogously, with respect to the micromechanical case, we can assume that a configurational force will appear, which will produce a residual deformation, called piezo-flexo-electric, identical to the one that appears in the classical Eshelby experiment, and that it will have a confinement effect, this fact occurs physically, giving rise to the appearance of a mechano-quantum fluctuation (quantum confinement). zero, uni, bi, or three-dimensional, in the first case we talk about quantum dots. In the present work, the constitutive equations of the piezo-flexo-electricity, its equations of motion, and the resolubility conditions of the piezo-flexo-electric system are specified.

1. INTRODUCCIÓN

1.1. Definiciones preliminares y algunas dificultades teórico-experimentales

La flexo-electricidad está fuertemente relacionada con la piezo-electricidad, pero, mientras que la piezo-electricidad se refiere a la polarización debida a una deformación uniforme, la flexo-electricidad se refiere específicamente a la polarización debida a una deformación que cambia de un punto a otro en el material.

Debido a que, el gradiente de deformación rompe la simetría de inversión, la flexo-electricidad permite la generación de polarización eléctrica a partir de deformaciones de la red en materiales dieléctricos.

Matemáticamente, el efecto flexo-eléctrico está controlado por un tensor de cuarto orden y, por lo tanto, aparece en materiales de cualquier simetría, mientras que la piezoelectricidad está asociada a un tensor de tercer orden, que solo está permitido en materiales que no son centro-simétricos.

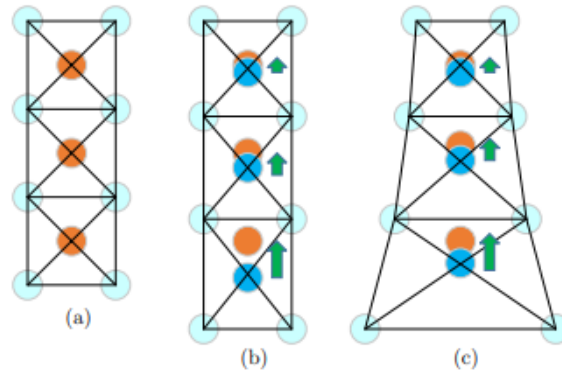


Figura 1: Origen del efecto flexo-eléctrico en sólidos. [Huang et al. \(2018\)](#)

(a) Estructura bidimensional (2D) de cargas elementales sin momento dipolar. (b) Bajo una tensión de tracción uniforme para cada celda unitaria, la tensión varía gradualmente de una celda a otra. (c) Bajo deformación no homogénea, se indujo un momento dipolar a través del efecto flexo-eléctrico dentro de la celda unitaria

Este hecho podría permitir la introducción de mecanismos análogos a los de ruptura espontánea de la simetría (Spontaneous Symmetry Breaking, SSB) utilizados frecuentemente en la teoría cuántica de campos (Quantum Field Theory) y también la posibilidad del uso de laplacianos generalizados del tipo Laplace Beltrami, para tratar problemas sobre superficies, o de tipo Dunkl

$$\Delta u_j(x, t) = \frac{1}{\sqrt{|g|}} \left\{ \sqrt{|g|} g^{nk} u_{j,n}(x, t) \right\}_{,k} ; g^{ij} - \text{Tensor métrico asociado a la variedad} \quad (1)$$

$$\Delta_k u_j(\vec{x}, t) = \nabla^2 u_j(\vec{x}, t) + \sum_{\alpha \in R} k(\alpha) \frac{\langle \nabla u_j, \alpha \rangle}{\langle \vec{x}, \alpha \rangle} - \frac{|\alpha|^2}{2} \frac{\{u_j(x) - u_j(\sigma_\alpha(\vec{x}))\}}{\langle \vec{x}, \alpha \rangle} \quad (2)$$

El laplaciano de Dunkl es la suma de un operador diferencial de segundo orden y un término de diferencia asociado a una función de multiplicidad k y un grupo de reflexión W . Una motivación importante para estudiar el laplaciano de Dunkl surge de su relevancia para el análisis de ciertos modelos de mecánica del continuo, que se definen como exactamente resolubles, a saber, el modelo de tipo Calogero-Moser-Sutherland.

A diferencia de la piezoelectricidad, que existe sólo en 20 grupos de puntos de sistemas sin centro-simetría, la flexo-electricidad ocurre en los 32 grupos de puntos cristalinos. Esta naturaleza universal ha inspirado un gran interés científico debido a las posibles aplicaciones de la flexo-electricidad.

Así entonces ambos fenómenos, en rigor, aparecen en distintas escalas y asociados a mecanismos diferentes, lo interesante radica en el hecho de que, mientras en la meso-escala, la flexo-electricidad es inexistente, o por lo menos muy difícil de detectar, a escala nanoscópica se manifiesta como la principal interacción de tipo electromecánica, sin embargo, a esta escala, en ciertos materiales centro-simétricos también aparece la piezo-electricidad, esto es aproximadamente a 3 o 4 nm, coexisten ambos fenómenos sin superponerse fuertemente.

Se impone, en este punto realizar algunas consideraciones de carácter teórico, a efectos de mostrar algunas complejidades, en el abordaje del problema

- a) Se asume que, la mecánica de medios continuos en la formulación de segundo gradiente, o superiores, según las prescripciones del formalismo de Mindlin-Aifantis, es la más adecuada, para la descripción de este tipo de fenómenos.
- b) El mecanismo clásico consistente en la introducción de micro o nano-estructuras, a partir de las cuales se podría argumentar la presencia de flexo-electricidad, se ve limitada, dado que el mecanismo de Eshelby, o de Eshelby-Mura, se transforma en mecanismo de confinamiento, de carácter eminentemente cuántico, en relación con la aparición de puntos cuánticos, se detectan en cambio, cuasi partículas llamadas polarones, o estados todavía más complejos, como los de tipo exciton-polaron los cuales generan polaritones, así entonces el acoplamiento entre gradientes de deformación y polarización clásica, tiene ciertas limitaciones de tipo operatorial, es decir el funcional de energía que podemos elegir o proponer no es único y además las constantes de acoplamiento aún no han sido medidas con precisión

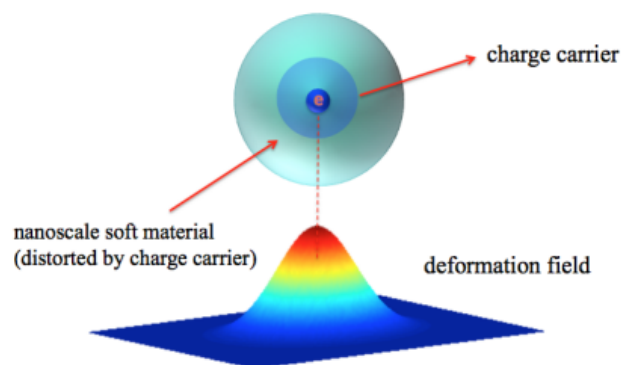


Figura 2: Li (2015)

La Figura 2, muestra la inyección de un portador de carga en un dieléctrico, generado por flexo-electricidad, a 2 nm, quedando confinado en un lugar determinado. El portador de carga, junto con la deformación circundante localizada, forma la cuasi-partícula llamada polarón. El campo de deformación depende de la fuerza del acoplamiento electrón-fonón. Una vez que se forma un polarón, cualquier estímulo que perturbe el campo cuántico (función de onda) alterará el campo de deformación, causando así una deformación mecánica adicional

- c) En la formulación de Bernoulli-Euler o de Timoshenko para nano-vigas en 2D, el cálculo del efecto de flexión por una cierta distribución del vector campo de polarización nos obliga a admitir la consideración de un tensor de cuarto orden denominado tensor de efecto directo, e inmediatamente el efecto inverso, es decir, la generación de un campo de polarización por influencia de un campo de gradientes de deformación
- d) Suponiendo la validez de una teoría lineal extendida para dieléctricos, que incorpora términos que involucran los gradientes de deformación elástico, del campo eléctrico, y una función de onda asociada a una ecuación de Schrödinger, tendremos la expresión más general para la función de densidad de energía libre de Gibbs, U_b la cual puede escribirse como sigue: (Hu y Shen, 2009)

$$\begin{aligned}
U_b = & -(1/2)\mathbf{E}_k \cdot \mathbf{a}_{kl} \cdot \mathbf{E}_k - (1/2)\mathbf{E}_{i,j} : \mathbf{b}_{ijkl} : \mathbf{E}_{k,l} + (1/2)\boldsymbol{\varepsilon}_{ij} : \mathbf{C}_{ijkl}^e : \boldsymbol{\varepsilon}_{kl} - \\
& - \boldsymbol{\varepsilon}_{ij} : \mathbf{e}_{ijkl} : \mathbf{E}_{k,l} - \boldsymbol{\varepsilon}_{ij} : \mathbf{d}_{ijk} \cdot \mathbf{E}_k - \mathbf{E}_i \cdot \mathbf{h}_{ijk} : \mathbf{E}_{j,k} - \mathbf{E}_i : \mathbf{f}_{ijkl} : u_{j,k,l} + \\
& + \boldsymbol{\varepsilon}_{ij} : \mathbf{r}_{ijklm} : u_{k,lm} - \mathbf{E}_{i,j} : \boldsymbol{\eta}_{ijkmn} : u_{k,mn} + (1/2)u_{i,j,k} : \mathbf{g}_{ijklmnl} : u_{l,mn} + \\
& + \alpha(\hbar) \{ \boldsymbol{\varepsilon}_{ij} : \boldsymbol{\delta}_{ij} \cdot \|\psi\|^2 - \boldsymbol{\varepsilon}_{ij} : \mathbf{f}_{ijkl} : (\psi_{,l} \otimes \psi_{,k}) \} + \alpha_1(\hbar)u_{j,k} : \boldsymbol{\delta}_{jk}\psi^*\psi \quad (3)
\end{aligned}$$

$$\begin{aligned}
U_b = & -(1/2)\mathbf{E}_k \cdot \mathbf{a}_{kl} \cdot \mathbf{E}_k - (1/2)\mathbf{V}_{i,j} : \mathbf{b}_{ijkl} : \mathbf{V}_{kl} + (1/2)\boldsymbol{\varepsilon}_{ij} : \mathbf{C}_{ijkl}^e : \boldsymbol{\varepsilon}_{kl} - \\
& - \boldsymbol{\varepsilon}_{ij} : \mathbf{e}_{ijkl} : \mathbf{V}_{kl} - \boldsymbol{\varepsilon}_{ij} : \mathbf{d}_{ijk} \cdot \mathbf{E}_k - \mathbf{E}_i \cdot \mathbf{h}_{ijk} : \mathbf{V}_{j,k} - \mathbf{E}_i : \mathbf{f}_{ijkl} : w_{jkl} + \\
& + \boldsymbol{\varepsilon}_{ij} : \mathbf{r}_{ijklm} : w_{klm} - \mathbf{V}_{i,j} : \boldsymbol{\eta}_{ijkmn} : w_{kmn} + (1/2)w_{i,j,k} : \mathbf{g}_{ijklmnl} : w_{lmn} + \\
& + \alpha_1(\hbar) \{ \boldsymbol{\varepsilon}_{ij} : \boldsymbol{\delta}_{ij} \cdot \|\psi\|^2 - \boldsymbol{\varepsilon}_{ij} : \mathbf{f}_{ijkl} : (\psi_{,l} \otimes \psi_{,k}) \} + \alpha_1(\hbar)u_{j,k} : \boldsymbol{\delta}_{jk}\psi^*\psi \quad (4)
\end{aligned}$$

Donde $\mathbf{V}_{ij} = \mathbf{E}_{i,j}$; $w_{klm} = u_{k,lm}$; $\boldsymbol{\varepsilon}_{jk} = (1/2)(u_{j,k} + u_{k,j})$. \mathbf{a}_{kl} , \mathbf{b}_{ijkl} , \mathbf{C}_{ijkl}^e , \mathbf{e}_{ijkl} , \mathbf{d}_{ijk} , \mathbf{h}_{ijk} , \mathbf{f}_{ijkl} , \mathbf{r}_{ijklm} , $\boldsymbol{\eta}_{ijkmn}$, $\mathbf{g}_{ijklmnl}$, son los tensores de propiedades materiales. Particularmente, \mathbf{a}_{kl} , \mathbf{C}_{ijkl}^e son los tensores de permitividad de segundo orden y elástico de cuarto orden respectivamente. El tensor $\mathbf{g}_{ijklmnl}$ representa los efectos elásticos puramente no locales y corresponde a las teorías de elasticidad de tipo Mindlin Aifantis, u_j es el campo de desplazamiento. (Barettin, 2023; Enakoutsa et al., 2016)

2. ECUACIONES CONSTITUTIVAS

Minimizando la energía utilizando un principio de mínima acción tendremos

$$\begin{aligned}
\boldsymbol{\sigma}_{ij} = \frac{\partial U_b}{\partial \boldsymbol{\varepsilon}_{ij}} = & \mathbf{C}_{ijkl} : \boldsymbol{\varepsilon} - \mathbf{e}_{ijkl} : \mathbf{V}_{kl} - \mathbf{d}_{ijk} \cdot \mathbf{E}_k - \mathbf{r}_{ijklm} : w_{klm} + \\
& + \alpha_1 \|\psi\|^2 \{ \boldsymbol{\delta}_{ij} - \mathbf{f}_{ijkl} : (\psi_{,l} \otimes \psi_{,k}) \} \quad (5)
\end{aligned}$$

$$\boldsymbol{\tau}_{ijm} = \frac{\partial U_b}{\partial \boldsymbol{\varepsilon}_{ij}} = -\mathbf{f}_{ijmk} \cdot \mathbf{E}_k + \mathbf{r}_{ijmkl} : \boldsymbol{\varepsilon}_{kl} - \boldsymbol{\eta}_{ijmkl} : \mathbf{V}_{kl} + \mathbf{g}_{ijmknl} : w_{knl} \quad (6)$$

$$\mathbf{D}_i = -\frac{\partial U_b}{\partial \mathbf{E}_i} = \mathbf{a}_{ij} \cdot \mathbf{E}_j + \mathbf{d}_{jki} : \boldsymbol{\varepsilon}_{jk} + \mathbf{h}_{ijk} : \mathbf{V}_{j,k} + \mathbf{f}_{ijkl} : w_{jkl} \quad (7)$$

$$\mathbf{Q}_{ij} = -\frac{\partial U_b}{\partial \mathbf{V}_{ij}} = \mathbf{b}_{ijkl} : \mathbf{V}_{kl} + \mathbf{e}_{ijkl} : \boldsymbol{\varepsilon}_{kl} + \mathbf{h}_{ijk} \cdot \mathbf{E}_k + \boldsymbol{\eta}_{ijmkl} : w_{mkl} \quad (8)$$

$$\begin{aligned}
\boldsymbol{\sigma}_{jk}^{MC}(\vec{x}, t) = & \frac{\hbar^2}{2m^*} \{ \|\psi_{,j}(\vec{x}, t)\|^2 \boldsymbol{\delta}_{jk} - \psi_{,j}(\vec{x}, t) \otimes \psi_{,k}^*(\vec{x}, t) - \psi_{,k}^*(\vec{x}, t) \otimes \psi_{,j}(\vec{x}, t) \} - \\
& - \mathbf{f}_{ijkl} : (\psi_{,j}(\vec{x}, t) \otimes \psi_{,k}^*(\vec{x}, t)) \quad (9)
\end{aligned}$$

Las ecuaciones de movimiento serán

$$\rho_t^2 u_i(\vec{x}, t) - (\boldsymbol{\sigma}_{ij}(\vec{x}, t) - \boldsymbol{\tau}_{ijm,m}(\vec{x}, t))_{,j} - \alpha_1 \{ \{ \delta_{ik} - \mathbf{f}_{ikjl} : (\psi_{,l} \otimes \psi_{,j}) \} \|\psi(\vec{x}, t)\|^2 \}_{,k} = -\mathbf{S}_{ijklm}^{Es} \boldsymbol{\epsilon}_{lm,k}^*(\vec{x}, t) \quad \text{en } R_k \quad (10)$$

$$(\mathbf{D}_i - \mathbf{Q}_{ij,j})_i = \rho_s \quad \text{en } R_k \quad (11)$$

$$i\hbar \partial_t \psi(\vec{x}, t) + (\hbar^2/2m^*) \hat{\nabla}^2 \psi(\vec{x}, t) - \alpha_1 (u_{j,j}(\vec{x}, t)) \psi(\vec{x}, t) = 0 \quad \text{en } R_k \quad (12)$$

Las cuales desarrolladas completamente se escribirán:

$$\begin{aligned} \rho \partial_t^2 u_i(\vec{x}, t) - \mathbf{C}_{ijkl} u_{k,lj} + \mathbf{e}_{ijkl} \mathbf{V}_{kl,j} + \mathbf{d}_{ijk} \mathbf{E}_{k,j} + \mathbf{r}_{ijklm} u_{k,lmj} - \mathbf{f}_{ijmk} \cdot \mathbf{E}_{k,mj} - \\ - \boldsymbol{\eta}_{ijmkl} : \mathbf{E}_{kl,mj} + \mathbf{g}_{ijmkl} u_{k,nlmj} - \alpha_1 \{ \|\psi\|^2 \{ \delta_{ij} - \mathbf{f}_{ijkl} : (\psi_{,l} \otimes \psi_{,k}) \} \}_{,j} = \\ = -\langle \mathbf{S}_{ijlm}^{Es} \boldsymbol{\epsilon}_{lm}^*(\vec{x}, t) \rangle_{,j} \quad \text{en } R_k \quad ; \quad \alpha_1 \in R_0^+ \cong 1 \text{ nm} \end{aligned} \quad (13)$$

$$\begin{aligned} \mathbf{a}_{ij} \mathbf{E}_{j,i} + \mathbf{d}_{jki} u_{j,ki} + \mathbf{h}_{ijk} \mathbf{E}_{j,ki} + \mathbf{f}_{ijkl} u_{j,kl} - \mathbf{b}_{ijkl} \mathbf{E}_{k,lj} - \mathbf{e}_{ijkl} u_{k,lji} - \\ - \mathbf{h}_{ijk} \mathbf{E}_{k,ji} - \boldsymbol{\eta}_{ijmkl} u_{m,klji} = \rho_s \quad \text{en } R_k \quad ; \quad \rho_s \in L^2(R_k) \end{aligned} \quad (14)$$

$$i\hbar \partial_t \psi(\vec{x}, t) + (\hbar^2/2m^*) \hat{\nabla}^2 \psi(\vec{x}, t) - \alpha_1 (u_{j,j}(\vec{x}, t)) \psi(\vec{x}, t) = 0 \quad \text{en } R_k \quad (15)$$

$\langle \mathbf{S}_{ijlm}^{Es} \boldsymbol{\epsilon}_{lm}^*(\vec{x}, t) \rangle_{,j}$ es la expresión que asume la nano-inclusión, el sentido de la promediación es en términos de una función de onda de Schrödinger. (Zhuang et al., 2020; Li, 2015)

A efectos de resolver el problema de las condiciones de borde para el campo eléctrico, consideramos la condición

$$-\mathbf{b}_{ijkl} \mathbf{E}_{kl,j} + \mathbf{e}_{ijkl} u_{k,l} + \mathbf{h}_{ijk} \mathbf{E}_{k,j} + \boldsymbol{\eta}_{ijmkl} u_{m,klj} = \mathbf{D}_i \quad \text{en } R_k \quad (16)$$

Y la expresamos como un operador pseudo parabólico tal que sus soluciones tiendan a las soluciones estacionarias para t tendiendo a infinito

$$\begin{aligned} \partial_t \mathbf{E}_i(\vec{x}, t) - \mathbf{b}_{ijkl} \mathbf{E}_{kl,j}(\vec{x}, t) + \mathbf{e}_{ijkl} u_{k,lj}(\vec{x}, t) + \mathbf{h}_{ijk} \mathbf{E}_{k,j}(\vec{x}, t) + \\ + \boldsymbol{\eta}_{ijmkl} u_{m,klj}(\vec{x}, t) = \mathbf{D}_i \quad \text{en } R_k \end{aligned} \quad (17)$$

El Sistema queda expresado en la forma:

$$\begin{aligned} \rho \partial_t^2 u_i(\vec{x}, t) - \mathbf{C}_{ijkl} u_{k,lj}(\vec{x}, t) + \mathbf{e}_{ijkl} \mathbf{E}_{kl,j}(\vec{x}, t) + \mathbf{d}_{ijk} \mathbf{E}_{k,j}(\vec{x}, t) + \mathbf{r}_{ijklm} u_{k,lmj}(\vec{x}, t) - \\ - \mathbf{f}_{ijmk} \mathbf{E}_{k,mj}(\vec{x}, t) - \boldsymbol{\eta}_{ijmkl} \mathbf{E}_{kl,mj}(\vec{x}, t) + \mathbf{g}_{ijmkl} u_{k,nlmj} - \\ - \alpha_1 \{ \|\psi\|^2 \{ \delta_{ij} - \mathbf{f}_{ijkl}(\psi_{,l} \otimes \psi_{,k}) \} \}_{,j} = -\langle \mathbf{S}_{ijlm}^{Es} \boldsymbol{\epsilon}_{lm}^*(\vec{x}, t) \rangle_{,j} \quad \text{en } R_k \end{aligned} \quad (18)$$

$$\begin{aligned} \partial_t \mathbf{E}_i(\vec{x}, t) - \mathbf{b}_{ijkl} \mathbf{E}_{kl,j}(\vec{x}, t) + \mathbf{e}_{ijkl} u_{k,lj}(\vec{x}, t) + \mathbf{h}_{ijk} \mathbf{E}_{k,j}(\vec{x}, t) + \\ + \boldsymbol{\eta}_{ijmkl} u_{m,klj}(\vec{x}, t) = \mathbf{D}_i \quad \text{en } R_k \end{aligned} \quad (19)$$

$$i\hbar \partial_t \psi(\vec{x}, t) + (\hbar^2/2m^*) \hat{\nabla}^2 \psi(\vec{x}, t) - \alpha_1 (u_{j,j}(\vec{x}, t)) \psi(\vec{x}, t) = 0 \quad \text{en } R_k \quad (20)$$

Las condiciones iniciales serán

$$u_j(\vec{x}, 0) = u_j^0 / u_j^0 \in \mathbf{H}_0^1(D_k) \quad ; \quad \partial_t u_j(\vec{x}, 0) = w_j^0 / w_j^0 \in (\mathbf{L}^2(D_k))^3 \quad (21)$$

$$\mathbf{E}_j(\vec{x}, 0) = \mathbf{E}_j^0 / \mathbf{E}_j^0 \in (\mathbf{H}_0^1(D_k))^3 \quad ; \quad \psi(\vec{x}, 0) = \psi_0 / \psi_0 \in H_0^1(D_k) \quad (22)$$

Las condiciones de borde serán de tipo Neumann

$$\begin{aligned}
& (-\mathbf{C}_{ijkl}u_{k,l}(\vec{x}, t) + \mathbf{e}_{ijkl}\mathbf{E}_{kl}(\vec{x}, t) + \mathbf{d}_{ijk}\mathbf{E}_k(\vec{x}, t) + \mathbf{r}_{ijklm}u_{k,lm}(\vec{x}, t))\hat{n}_j \Big|_{\partial\Gamma_{in}} - \\
& - \mathbf{f}_{ijmk} \cdot \mathbf{E}_{k,m}(\vec{x}, t)\hat{n}_j \Big|_{\partial\Gamma_{in}} - \boldsymbol{\eta}_{ijmkl} : \mathbf{E}_{kl,m}(\vec{x}, t)\hat{n}_j \Big|_{\partial\Gamma_{in}} + \mathbf{g}_{ijmkn}l u_{k,nlm}\hat{n}_j \Big|_{\partial\Gamma_{in}} - \\
& - \alpha_1 \{ \|\psi\|^2 \{ \boldsymbol{\delta}_{ij} - \mathbf{f}_{ijkl} : (\psi_{,l} \otimes \psi_{,k}) \} \} \hat{n}_j \Big|_{\partial\Gamma_{in}} = - \langle \mathbf{S}_{ijlm}^{Es} \boldsymbol{\epsilon}_{lm}^*(\vec{x}, t) \rangle \hat{n}_j \Big|_{\partial\Gamma_{in}} \quad (23)
\end{aligned}$$

$$\begin{aligned}
& (-\mathbf{C}_{ijkl}u_{k,l}(\vec{x}, t) + \mathbf{e}_{ijkl}\mathbf{E}_{kl}(\vec{x}, t) + \mathbf{d}_{ijk}\mathbf{E}_k(\vec{x}, t) + \mathbf{r}_{ijklm}u_{k,lm}(\vec{x}, t))\hat{n}_j \Big|_{\partial\Gamma_1} - \\
& - \mathbf{f}_{ijmk} \cdot \mathbf{E}_{k,m}(\vec{x}, t)\hat{n}_j \Big|_{\partial\Gamma_1} - \boldsymbol{\eta}_{ijmkl} : \mathbf{E}_{kl,m}(\vec{x}, t)\hat{n}_j \Big|_{\partial\Gamma_1} + \mathbf{g}_{ijmkn}l u_{k,nlm}\hat{n}_j \Big|_{\partial\Gamma_1} - \\
& - \alpha_1 \{ \|\psi\|^2 \{ \boldsymbol{\delta}_{ij} - \mathbf{f}_{ijkl} : (\psi_{,l} \otimes \psi_{,k}) \} \} \hat{n}_j \Big|_{\partial\Gamma_1} = -q_j \Big|_{\partial\Gamma_1} / q_j \in (\mathbf{L}^2(\partial\Gamma_1))^2 \quad (24)
\end{aligned}$$

$$(-\mathbf{b}_{ijkl}\mathbf{E}_{kl}(\vec{x}, t) + \mathbf{e}_{ijkl}u_{k,l}(\vec{x}, t) + \mathbf{h}_{ijk}\mathbf{E}_k(\vec{x}, t) + \boldsymbol{\eta}_{ijmkl}u_{m,kl}(\vec{x}, t))\hat{n}_j \Big|_{\partial\Gamma_{in}} = 0 \quad (25)$$

$$\begin{aligned}
& (-\mathbf{b}_{ijkl}\mathbf{E}_{kl}(\vec{x}, t) + \mathbf{e}_{ijkl}u_{k,l}(\vec{x}, t) + \mathbf{h}_{ijk}\mathbf{E}_k(\vec{x}, t) + \boldsymbol{\eta}_{ijmkl}u_{m,kl}(\vec{x}, t))\hat{n}_j \Big|_{\partial\Gamma_1} = \bar{q}_j \Big|_{\partial\Gamma_1} \quad (26) \\
& \bar{q}_j \in (\mathbf{L}^2(\partial\Gamma_1))^2 ; \partial M = \partial\Gamma_{in} \cup \partial\Gamma_1
\end{aligned}$$

Construyendo las funciones de Green y utilizando los teoremas de representación de Green-Lagrange obtenemos las representaciones integrales de las soluciones, para los campos desplazamiento y para el campo eléctrico, la solución de la ecuación de Schrödinger se obtiene utilizando el mismo procedimiento.

$$\begin{aligned}
u_i(\vec{x}, t) = & \int_0^t ds \left\{ \iiint_{V_k} d^3x' \mathbf{G}_{ik}(\vec{x} - \vec{x}', t - s) \{ \mathbf{f}_{kjmnl} \mathbf{E}_{n,mj}(\vec{x}', s) + \right. \\
& + \boldsymbol{\eta}_{kjmnl} \mathbf{E}_{l,nmj}(\vec{x}', s) - \mathbf{e}_{kijn} \mathbf{E}_{ln,j}(\vec{x}', s) + \mathbf{d}_{kijn} \mathbf{E}_{n,j}(\vec{x}', s) - \\
& \left. - \alpha_1 \{ \|\psi(\vec{x}', s)\|^2 \{ \boldsymbol{\delta}_{ij} - \mathbf{f}_{ijkl}(\psi_{,l}(\vec{x}', s) \otimes \psi_{,k}(\vec{x}', s)) \} \}_{,j} \right\} + \\
& + \iiint_{V_k} d^3x' \{ \mathbf{G}_{ik}(\vec{x} - \vec{x}', t) \partial_t u_k(\vec{x}, 0) - \partial_t \mathbf{G}_{ik}(\vec{x} - \vec{x}', t) u_k(\vec{x}, 0) \} + \\
& + \int_0^t ds \left\{ \iint_{\partial\Gamma_{in}} da \mathbf{G}_{ik}(\vec{x} - \vec{x}', t - s) \langle \mathbf{S}_{kijlm}^{Es} \boldsymbol{\epsilon}_{lm}^*(\vec{x}, t) \rangle \hat{n}_j \Big|_{\partial\Gamma_{in}} \right\} + \\
& + \int_0^t ds \left\{ \iint_{\partial\Gamma_{in}} da \mathbf{G}_{ik}(\vec{x} - \vec{x}', t - s) \bar{q}_j(\vec{x}, t, \mathbf{E}_j, \psi) \Big|_{\partial\Gamma_{in}} \right\} \quad (27)
\end{aligned}$$

$$\begin{aligned}
\mathbf{E}_i(\vec{x}, t) = & \int_0^t ds \left\{ \iiint_{V_k} d^3x' \bar{\mathbf{G}}_{ik}(\vec{x} - \vec{x}', t - s) \{ \mathbf{D}_k(\vec{x}', s) - \mathbf{e}_{ijkl}u_{k,lj}(\vec{x}', s) - \right. \\
& \left. - \boldsymbol{\eta}_{ijmkl}u_{m,klj}(\vec{x}', s) \} \right\} + \iiint_{V_k} d^3x' \{ \bar{\mathbf{G}}_{ij}(\vec{x} - \vec{x}', t) \mathbf{E}_j(\vec{x}', 0) \} + \\
& + \int_0^t ds \left\{ \iint_{\partial\Gamma_{in}} da \bar{\mathbf{G}}_{ik}(\vec{x} - \vec{x}', t - s) q_{1j}(\vec{x}, t, u_j) \Big|_{\partial\Gamma_{in}} \right\} \quad (28)
\end{aligned}$$

$$\begin{aligned}
\psi(\vec{x}, t) = & \alpha_1 \int_0^t ds \left\{ \iiint_{V_k} d^3x' g(\vec{x} - \vec{x}', t - s) \{ (u_{j,j}(\vec{x}', s)) \psi(\vec{x}', s) \} \right\} + \\
& + \iiint_{V_k} d^3x' \{ g(\vec{x} - \vec{x}', t) \psi(\vec{x}', 0) \} \quad (29)
\end{aligned}$$

Se deben agregar a este conjunto solución, las condiciones de resolubilidad asociadas a todo problema de Neumann, dada que adolece de unicidad. Las funciones de Green son:

$$\rho \partial_t^2 \mathbf{G}_{ik}(\Delta \vec{x}, \Delta t) - \mathbf{C}_{ilmn} \mathbf{G}_{kn,ml}(\Delta \vec{x}, \Delta t) + \mathbf{r}_{ijslm} \mathbf{G}_{ks,lmj}(\Delta \vec{x}, \Delta t) + \mathbf{g}_{ijmsnl} \mathbf{G}_{ks,nlmj}(\Delta \vec{x}, \Delta t) = \delta_{ik}(\delta(\Delta \vec{x}, \Delta t) - 1/V) \quad (30)$$

$$- \partial_t \bar{\mathbf{G}}_{ik}(\Delta \vec{x}, \Delta t) - \mathbf{b}_{ijnl} \bar{\mathbf{G}}_{kn,lj}(\Delta \vec{x}, \Delta t) + \mathbf{h}_{ijn} \bar{\mathbf{G}}_{kn,j}(\Delta \vec{x}, \Delta t) = \delta_{ik}(\delta(\Delta \vec{x}, \Delta t) - 1/V) \quad (31)$$

$$i\hbar \partial_t g(\Delta \vec{x}, \Delta t) - (\hbar^2/2m^*) \hat{\nabla}^2 g(\Delta \vec{x}, \Delta t) = \delta(\Delta \vec{x}, \Delta t) \quad (32)$$

Junto con el conjunto de condiciones iniciales y de borde, homogéneas

3. TENSORES DE ESHELBY CON CORRECCIONES FLEXO-ELÉCTRICAS

$$\mathbf{K}_{jk} = U_b \delta_{jk} - \boldsymbol{\sigma}_{jl} : \boldsymbol{\varepsilon}_{lk} = U_b \delta_{jk} - \mathbf{C}_{ilps} : u_{p,s} \cdot \boldsymbol{\varepsilon}_{lk} + \mathbf{e}_{ilks} : \mathbf{E}_{k,s} \cdot \boldsymbol{\varepsilon}_{lk} + \mathbf{d}_{ils} \cdot \mathbf{E}_s \cdot \boldsymbol{\varepsilon}_{lk} + \mathbf{r}_{ilpsm} \cdot u_{psm} \boldsymbol{\varepsilon}_{lk} - \alpha_1 \|\psi\|^2 \{ \boldsymbol{\delta}_{jl} - \mathbf{f}_{lps} : (\psi_{,s} \otimes \psi_{,p}) \} \boldsymbol{\varepsilon}_{lk} \quad (33)$$

$$\mathbf{K}_{AB} = U_b \delta_{AB} - \mathbf{F}_{Aj} \mathbf{P}_{jB} = U_b \delta_{AB} - \mathbf{J} \mathbf{F}_{Aj} \cdot \{ \mathbf{C}_{ilps} : u_{p,s} + \mathbf{e}_{ilks} : \mathbf{E}_{k,s} + \mathbf{d}_{ils} \cdot \mathbf{E}_s + \mathbf{r}_{ilpsm} \cdot u_{psm} - \alpha_1 \|\psi\|^2 \{ \boldsymbol{\delta}_{jl} - \mathbf{f}_{lps} : (\psi_{,s} \otimes \psi_{,p}) \} \} \cdot \mathbf{F}_{lB}^{-T} \quad (34)$$

En las configuraciones deformada y no deformada respectivamente, a partir de estas consideraciones es posible construir el problema de Eshelby con correcciones flexo-eléctricas y mecano-cuánticas, pudiéndose inferir entonces el mecanismo de formación del proceso de confinamiento. (Tagantsev, 1986, 1991; Wang et al., 2019)

El siguiente grafico muestra el arreglo experimental pensado para analizar el efecto piezo-flexo-eléctrico con nano-inclusiones, que se describe en el trabajo

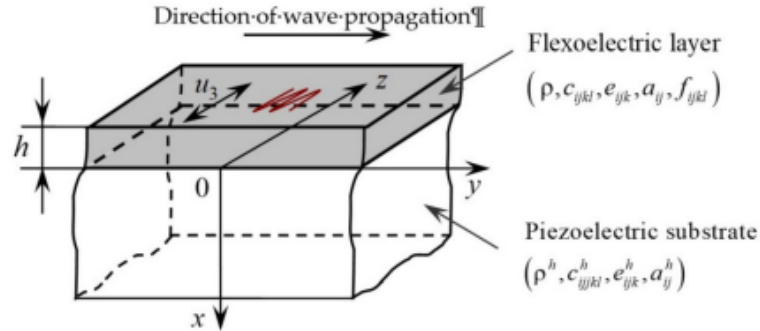


Figura 3: Estructura piezoeléctrica en capas (Hrytsyna et al., 2021)

4. CUESTIONES DE ABORDAJE COMPUTACIONAL

Las fuentes, asociadas a densidades de polarización continuas y discretas, se asumen constituidas de la siguiente forma:

a) Fuentes puntuales. Representación de defectos puntuales

$$\mathbf{f}_j(\vec{x}, t) = \|\mathbf{f}\| \cdot \hat{\mathbf{e}}_j \cdot \delta(\vec{x} - \vec{x}_0) \cdot \mathcal{G}(t - t_0) \text{ en } R_k \quad ; \quad \mathbf{f}_j \in (\mathbf{L}^2(R_k^+))^3 \quad (35)$$

$$\int_0^\infty dt \left\{ \mathbf{f}_j(t) \cdot \mathcal{G}(t - t_0) \left\{ \iiint_{-\infty}^\infty d^3x \delta(\vec{x} - \vec{x}_0) \right\} \right\} = 1 \quad ; \quad \mathcal{G} \in L^2(R_k^+) \quad (36)$$

Donde f_j es la magnitud de la fuerza aplicada, \mathcal{G} es una función arbitraria que mide la amplitud temporal de la fuerza, \hat{e}_j dirección de aplicación de la fuerza

b) Fuentes tensoriales extendidas. Representación de inclusiones

$$\mathbf{f}_j(\vec{x}, t) = -(\mathcal{M}_{jk}(\vec{x}, t))_{,k} / \mathcal{M}_{jk}(\vec{x}, t) = \mathbf{m}_{jk}(t) \delta(\vec{x} - \vec{x}_0) \quad (37)$$

$$\mathbf{m}_{jk}(t) = \mathbf{m}_{jk}^0 \mathcal{G}(t - t_0) \quad (38)$$

$$\mathbf{m}_{jk}^0 \in V^{3 \times 3}; \quad \mathbf{m}_{jk}^0 = \mathbf{m}_{kj}^0; \quad \mathbf{m}_{kj}^0 q_k q_j > 0$$

Los sistemas de ecuaciones integrales representativos de las soluciones semi-analíticas (27), (28) y (29) para cada modelo analizado, podrían resolverse utilizando wavelets de la siguiente forma.

Base de Haar y formula de cuadratura asociada

$$\{t \rightarrow \psi_{n,k}(t) = \psi(2^n t - k); \quad n \in \mathbb{N}, 0 \leq k < 2^n\}$$

$$\int_{-\infty}^{\infty} dt 2^m \psi(2^m t - n) \psi(2^{m_1} t - n_1) = \delta_{m,m_1} \delta_{n,n_1}$$

$$S_N(f) = \frac{(b-a)(d-c)(h-e)}{8N^3} \sum_{k=1}^{2N} \sum_{j=1}^{2N} \sum_{i=1}^{2N} f\{a + (\delta_x/2)(2i-1), c + (\delta_y/2)(2j+1), \\ e + (\delta_z/2)(2k+1)\}$$

Finalmente puede probarse que el error cometido tiene la estructura siguiente

$$d\{\|u_j^* - u_j^{(m)}\|\} \leq \frac{\sigma^{m+1}}{1-\sigma} M_0 \quad ; \quad M_0 = \sup_{\vec{x}, t \in R_k} \{\|\mathbf{F}(\vec{x}, t, u_j^*)\|\}$$

Las representaciones integrales se expresarían en la forma siguiente

$$\begin{aligned} \bar{u}_j^{(m)}(\vec{x}, t) = & \hat{u}_j^0(\vec{x}, t) + \\ & + \delta_x \delta_y \delta_z \sum_{k=1}^{2N} \sum_{j=1}^{2N} \sum_{i=1}^{2N} \left\{ \int_0^t dt' H_{jk} \{x, y, z, t-t', a + (\delta_x/2)(2i-1), c + (\delta_y/2)(2j+1), \right. \\ & \left. e + (\delta_z/2)(2k+1)\} \psi_k \{u_j^{(m+1)} \{a + (\delta_x/2)(2i-1), c + (\delta_y/2)(2j+1), \right. \\ & \left. e + (\delta_z/2)(2k+1)\}\} \right\} + \\ & + \delta_x \delta_y \delta_z \sum_{k=1}^{2N} \sum_{j=1}^{2N} \sum_{i=1}^{2N} \left\{ \int_0^t dt' \bar{H}_{jk} \{x, y, 0, t-t', a + (\delta_x/2)(2i-1), c + (\delta_y/2)(2j+1), \right. \\ & \left. e + (\delta_z/2)(2k+1)\} \bar{\psi}_k \{u_j^{(m+1)} \{a + (\delta_x/2)(2i-1), c + (\delta_y/2)(2j+1), \right. \\ & \left. e + (\delta_z/2)(2k+1)\}\} \right\} \end{aligned}$$

Los gráficos siguientes muestran las distribuciones de tensiones flexo-eléctricas bidimensionales $\sigma_x^f(x, z, t)$, $\sigma_z^f(x, z, t)$, como se ve en la Figura 3.

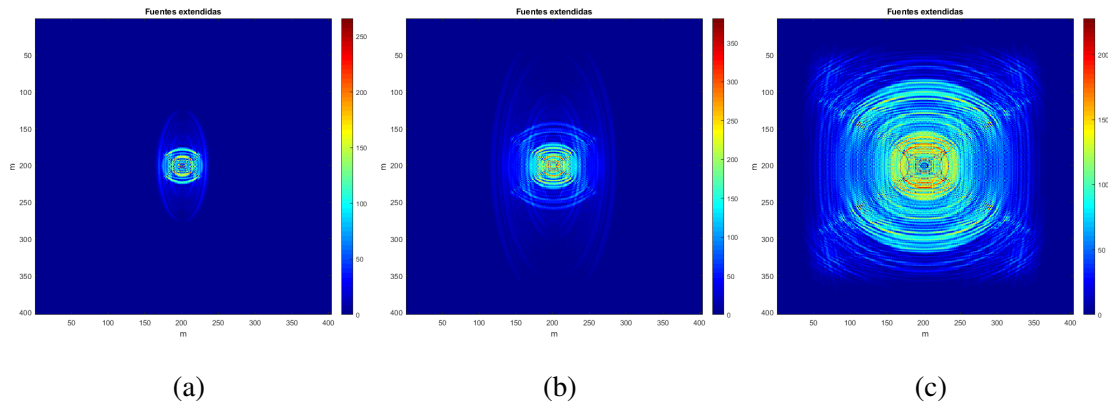


Figura 4: Fuente extendida

Código 1: Fuente extendida

```

1 % fuente
2 factor = 1e10;
3 a = pi*pi*f0*f0;
4 kx = 1;
5 kz = 1;
6 [T, ~] = meshgrid(t, 1:size(X, 1));
7 source_term = factor * sec(kx*X.^2 + kz*Z.^2) * sin(-a*(T-t0));

```

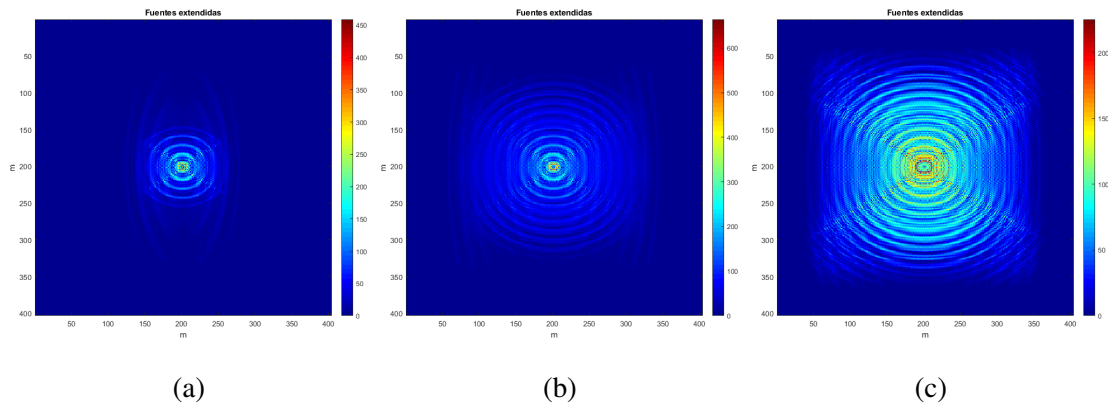


Figura 5: Segunda fuente extendida

Código 2: Segunda fuente extendida

```

1 % fuente
2 factor = 1e10;
3 a = pi*pi*f0*f0;
4 kx = 1;
5 kz = 1;
6 [T, ~] = meshgrid(t, 1:size(X, 1));
7 source_term = factor * (cos(kx*X.^2 + kz*Z.^2))^2 * sin(-a*(T-t0));

```

5. CONCLUSIONES

En el presente trabajo, se desarrolló un modelo de efecto piezo-flexo-eléctrico con nano-inclusiones, se plantearon las ecuaciones constitutivas y las ecuaciones de movimiento respectivas, posteriormente se escribieron las representaciones integrales de las soluciones, finalmente se bosquejó a manera de propuesta, un mecanismo de confinamiento asociado al análogo del experimento de Eshelby clásico, ahora acoplado a un campo de tipo Schrödinger, en términos de sendos tensores escritos en la configuración deformada y no deformada respectivamente.

REFERENCIAS

- Barettin D. State of the art of continuous and atomistic modeling of electromechanical properties of semiconductor quantum dots. *Nanomaterials*, 13(12), 2023. ISSN 2079-4991. doi:10.3390/nano13121820.
- Enakoutsa K., Corte A.D., y Giorgio I. A model for elastic flexoelectric materials including strain gradient effects. *Mathematics and Mechanics of Solids*, 21(2):242–254, 2016. doi:10.1177/1081286515588638.
- Hrytsyna O., Sladek J., y Sladek V. The effect of micro-inertia and flexoelectricity on love wave propagation in layered piezoelectric structures. *Nanomaterials*, 11(9), 2021. ISSN 2079-4991. doi:10.3390/nano11092270.
- Hu S. y Shen S. Electric Field Gradient Theory with Surface Effect for Nano-Dielectrics. *Computers, Materials & Continua*, 13(1):63–88, 2009. ISSN 1546-2226. doi:10.3970/cm.2009.013.063.
- Huang S., Qi L., Huang W., Shu L., Zhou S., y Jiang X. Flexoelectricity in dielectrics: Materials, structures and characterizations. *Journal of Advanced Dielectrics*, 08(02):1830002, 2018. doi:10.1142/S2010135X18300025.
- Li X. *The Coupling between Quantum Mechanics and Elasticity*. Tesis de Doctorado, Department of Mechanical Engineering, University of Houston, 2015.
- Stengel M. y Vanderbilt D. Quantum theory of mechanical deformations. *Phys. Rev. B*, 98:125133, 2018. doi:10.1103/PhysRevB.98.125133.
- Tagantsev A.K. Piezoelectricity and flexoelectricity in crystalline dielectrics. *Phys. Rev. B*, 34:5883–5889, 1986. doi:10.1103/PhysRevB.34.5883.
- Tagantsev A.K. Electric polarization in crystals and its response to thermal and elastic perturbations. *Phase Transitions*, 35(3-4):119–203, 1991. doi:10.1080/01411599108213201.
- Wang B., Gu Y., Zhang S., y Chen L.Q. Flexoelectricity in solids: Progress, challenges, and perspectives. *Progress in Materials Science*, 106:100570, 2019. ISSN 0079-6425. doi:https://doi.org/10.1016/j.pmatsci.2019.05.003.
- Zhu J., Hu P., Chen Y., Chen S., Zhang C., Wang Y., y Liu D. Waves Propagating in Nano-Layered Phononic Crystals with Flexoelectricity, Microstructure, and Micro-Inertia Effects. *Nanomaterials*, 12(7), 2022. ISSN 2079-4991. doi:10.3390/nano12071080.
- Zhuang X., Nguyen B.H., Nanthakumar S.S., Tran T.Q., Alajlan N., y Rabczuk T. Computational modeling of flexoelectricity—a review. *Energies*, 13(6), 2020. ISSN 1996-1073. doi:10.3390/en13061326.